

шивание осуществляют непосредственно перед подачей в горелочные устройства.

Для каждой отапливаемой i -ой зоны печи уравнения теплового баланса представляют в виде системы уравнений

$$\alpha_{1,i} Q_{\text{нр},i}^{\text{p}} B_{\text{нр},i} + \alpha_{1,i} Q_{\text{дг},i}^{\text{p}} B_{\text{дг},i} = Q_i(t_{\text{зад},i}); \quad (5)$$

$$\alpha_{1,i} V_{\text{нр},i} B_{\text{нр},i} + \alpha_{1,i} V_{\text{дг},i} B_{\text{дг},i} = V_i(P_{\text{зад},i}), \quad (6)$$

где $B_{\text{нр},i}$ и $B_{\text{дг},i}$ – расход природного и доменного газов в i -ой зоне соответственно; $Q_{\text{нр}}^{\text{p}}$, $Q_{\text{дг}}^{\text{p}}$ – теплота сгорания вышеуказанных компонентов топлива; $Q_i(t_{\text{зад},i})$ и $V_i(P_{\text{зад},i})$ – количество теплоты и объемный расход продуктов сгорания для заданных значений температуры и давления в i -ой зоне печи соответственно.

Регуляторы температуры и давления в зависимости от величины отклонения регулируемых параметров от заданного значения формируют управляющие воздействия $Q(t_i)$ и $V(P_i)$ для каждой зоны. Вычислительное устройство на основании уравнений (5) и (6) осуществляет корректировку задания регуляторам расхода природного и доменного газов.

Реализацию работы указанной системы автоматического управления осуществляют с использованием типовых микропроцессорных средств управления и возможности ее включения в АСУ ТП нагрева металла. Задание зонным регуляторам температуры и давления для каждого режима работы печи устанавливают в зависимости от информации о течении процесса и тепловом состоянии металла.

© 2012 г. М.П. Ревун, В.Ю. Зинченко, В.И. Иванов
Поступила 2 ноября 2011 г.

УДК 669.15:539.12:621.771

К.В. Волков¹, В.Я. Чинокалов¹, С.В. Коновалов²

¹ЕВРАЗ Объединенный Западно-Сибирский металлургический комбинат

²Сибирский государственный индустриальный университет

ФОРМИРОВАНИЕ СТРУКТУРНО-ФАЗОВЫХ СОСТОЯНИЙ АРМАТУРЫ ПРИ СЛИТТИНГ-ПРОЦЕССЕ И ПОСЛЕДУЮЩЕМ ТЕРМИЧЕСКОМ УПРОЧНЕНИИ

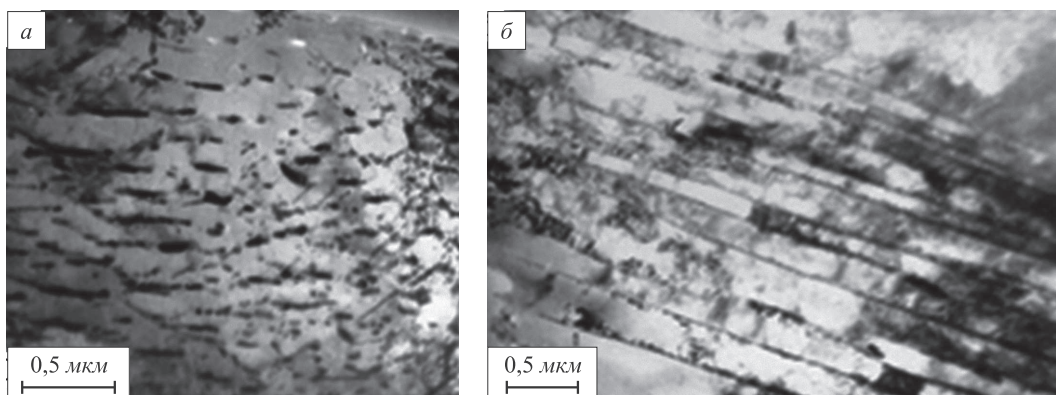
Одним из перспективных энергосберегающих методов прокатки арматурного профиля является слиттинг-процесс, обеспечивающий продольное разделение заготовки в процессе прокатки [1]. Знание закономерностей формирования структуры и фазового состава при прокатке-разделении и последующем упрочнении позволяет целенаправленно устанавливать оптимальные режимы обработок и формировать комплекс требуемых механических свойств [2, 3].

Для этих целей методами просвечивающей электронной микроскопии [4, 5] был проведен послойный анализ структуры, фазового состава и дефектной субструктурой стержневой арматуры из стали Ст3пс диам. 12 мм, полученной прокаткой на мелкосортном стане 250-1 по технологии продольного разделения раската и последующего термического упрочнения [6]. Технология прерванной закалки включала два последовательных цикла принудительного охлаждения (0,37 и 0,25 с в секциях 1 и 3 установки термического упрочнения под давлением воды 20 и 15 атм. соответственно) с промежуточным отогревом (0,37 с после секции 1). При такой обработке в сечении стержня формируется структурная неоднородность в виде ярко выраженного поверхностного слоя, переходных слоев

и осевой зоны, проявляющаяся в немонотонном изменении микротвердости от 2900 МПа на поверхности до 2000 МПа в сердцевине.

Количественные результаты электронно-микроскопического анализа приведены в таблице. В осевой зоне формируются структуры феррита с сетчатой и фрагментированной дислокационной субструктурой, перлита и квазиперлита. Феррит содержит наноразмерные частицы цементита (20 – 30 нм) округлой формы. Структура слоя на глубине приблизительно 3 мм от поверхности термической обработки состоит из феррита пластинчатой (объемная доля примерно 65 %) и зеренной (объемная доля примерно 20 %) морфологии, а также пластинчатого псевдоперлита (объемная доля примерно 15 %) (см. рисунок, поз. а). Частицы карбидной фазы имеют глобулярную и игольчатую морфологию.

Слой на глубине приблизительно 2 мм от поверхности представлен тем же набором структур (см. таблицу), который дополняют области пакетного мартенсита с объемной долей примерно 7 %. С приближением к поверхности (в слое на расстоянии приблизительно 1 мм) содержание псевдоперлита уменьшается до 6 %, а пакетного мартенсита увеличивается до 17 % (см. рисунок, поз. б). Отличительной особенностью



Электронно-микроскопические изображения псевдо-перлита (а) и пакетного мартенсита (б)

Изменение объемных долей структур по сечению арматуры

| Расстояние от поверхности обработки, мм | Объемная доля, %, структуры | | | | |
|---|-----------------------------|---------------------------------|-----------------------------|----------------|----------------------|
| | перлита пластинчатого | феррита пластинчатой морфологии | феррита зеренной морфологии | псевдо-перлита | мартенсита пакетного |
| Центр | 18 | 52 | | 30 | — |
| 3 | — | 65 | 20 | 15 | — |
| 2 | — | 61 | 20 | 12 | 7 |
| 1 | — | 46 | 31 | 6 | 17 |
| Поверхность | — | — | — | — | 100 |

пластинчатого феррита этого объема материала является образование зерен рекристаллизации. Структура поверхности представлена пакетным мартенситом, находящимся в отпущенном состоянии (мартенсит «самоотпуска») за счет аккумулированного объемом арматуры тепла, о чем свидетельствует пониженная (приблизительно $5 \cdot 10^{10} \text{ см}^{-2}$) скалярная плотность дислокаций (в два раза меньшая, чем у закаленного мартенсита [6]).

Механические свойства арматуры, полученные при прокатке-разделении и последующем термическом упрочнении, соответствуют ТУ 14-1-5254-94 для класса прочности А500С.

Выражаем благодарность Ю.Ф. Иванову за проведение электронно-микроскопического анализа.

БИБЛИОГРАФИЧЕСКИЙ СПИСОК

1. Фастыковский А.Р., Волков К.В., Перетятько В.Н. и др. // Изв. вуз. Черная металлургия. 2011. № 10. С. 18–21.
2. Волков К.В., Марьин Б.Н., Ким В.А. и др. // Заготовительные производства в машиностроении. 2010. № 9. С. 36–39.
3. Волков К.В., Марьин Б.Н., Ким В.А. и др. // Заготовительные производства в машиностроении. 2010. № 12. С. 45–48.
4. Утевский Л.М. Дифракционная электронная микроскопия в металловедении. – М.: Металлургия, 1973. – 584 с.
5. Эндрюс К., Даисон Д., Кьюн С. Электронограммы и их интерпретация. – М.: Мир, 1971. – 256 с.
6. Ефимов О.Ю. Структурно-фазовые состояния и технология производства упрочненной стальной арматуры и чугунных валков. – Новокузнецк: Изд-во НПК, 2008. – 300 с.

© 2012 г. К.В. Волков, В.Я. Чинокалов,
С.В. Коновалов
Поступила 5 мая 2012 г.